



Manizales, 29 de junio de 2026, 12:40 p. m.

Actividad volcánica del Segmento Norte de Colombia

Del seguimiento de la actividad volcánica durante mayo de 2026, el **Servicio Geológico Colombiano (SGC)**, entidad adscrita al **Ministerio de Minas y Energía**, presenta el informe de actividad de las estructuras volcánicas que conforman el Segmento Norte de Colombia y sus principales variaciones con respecto al mes anterior:

Volcán Nevado del Ruiz

El volcán Nevado del Ruiz (VNR) continuó mostrando un comportamiento inestable. Durante mayo se presentaron algunas variaciones a destacar en la actividad sísmica y en la desgasificación de dióxido de azufre (SO_2). Sin embargo, aún con estas variaciones, la actividad general del volcán mantuvo niveles bajos y sin registros de emisiones de ceniza confirmadas, dando continuidad al descenso generalizado que se viene observando en los últimos meses. Las principales variaciones observadas en los parámetros monitoreados fueron:

- La sismicidad asociada a procesos de fracturamiento de roca dentro del edificio volcánico (volcano-tectónica, VT) aumentó en el número de eventos registrados y en la energía sísmica liberada (figura 1). Los sismos se localizaron principalmente en el cráter Arenas y en los flancos norte y occidental-suroccidental, a distancias de hasta 9 km del cráter. En menor proporción, también se registraron sismos dispersos en otros flancos del volcán hasta 12 km de distancia del cráter. Con respecto al nivel de referencia, las profundidades de los sismos variaron desde niveles superficiales y 2 km en la zona del cráter, y entre 2 km y 8 km en los demás sectores de la estructura volcánica (figura 2). Es de mencionar que el 28 de mayo ocurrió un leve incremento sísmico, durante el cual se registró el mayor número diario de sismos del mes (607 sismos), un valor que no se presentaba desde octubre de 2025. Asimismo, cabe destacar que la máxima magnitud del mes fue de 2,5, correspondiente al sismo registrado el 3 de mayo a las 6:24 a. m., un valor que no se registraba desde febrero de 2026.

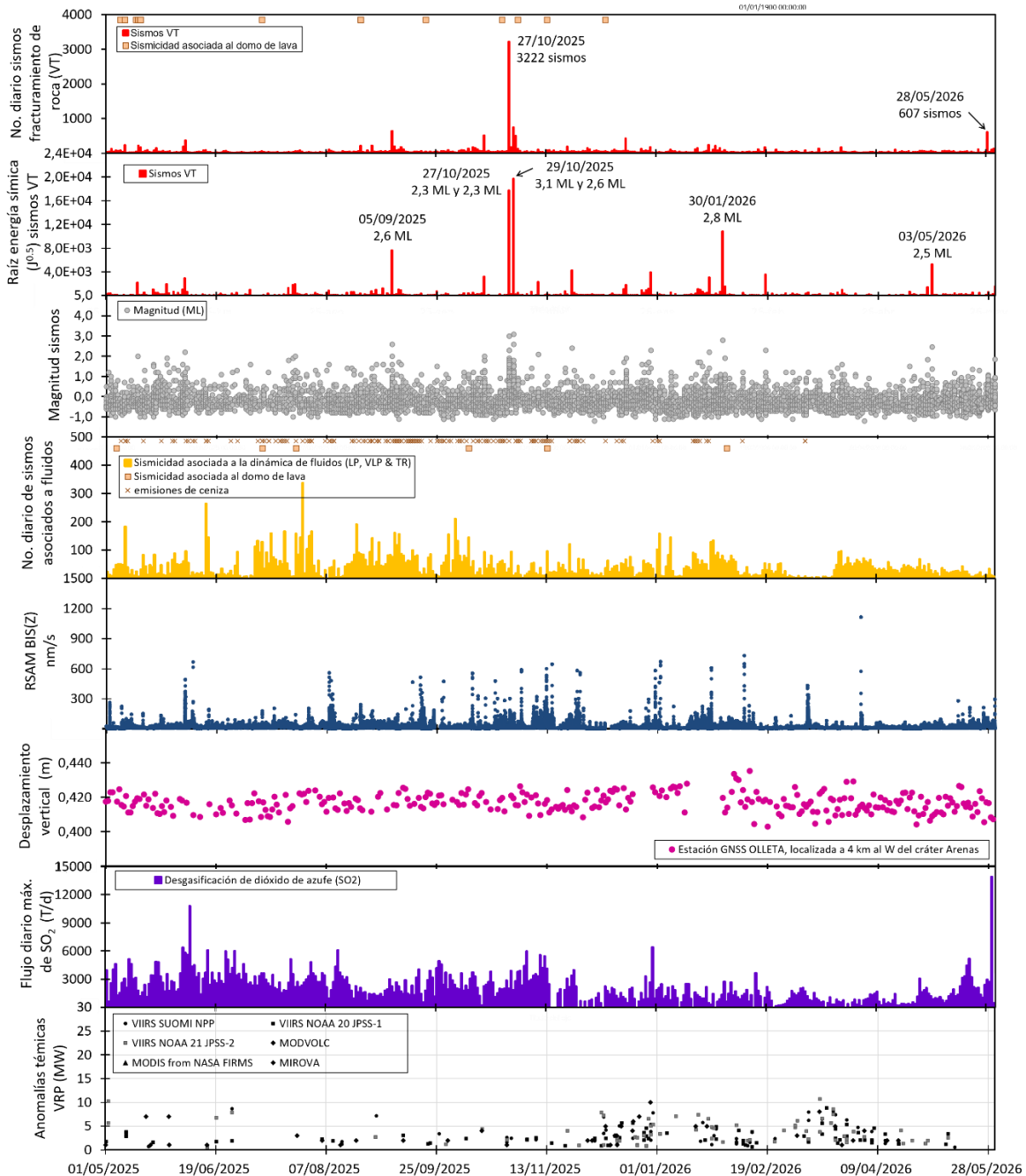


Figura 1. Gráfica multiparámetro que relaciona diversos parámetros de monitoreo para el seguimiento de la actividad del volcán Nevado del Ruiz en el periodo comprendido entre el 1 de mayo de 2025 y el 31 de mayo de 2026. La fecha y hora se encuentra en formato (menos 5 horas de la hora UTC).

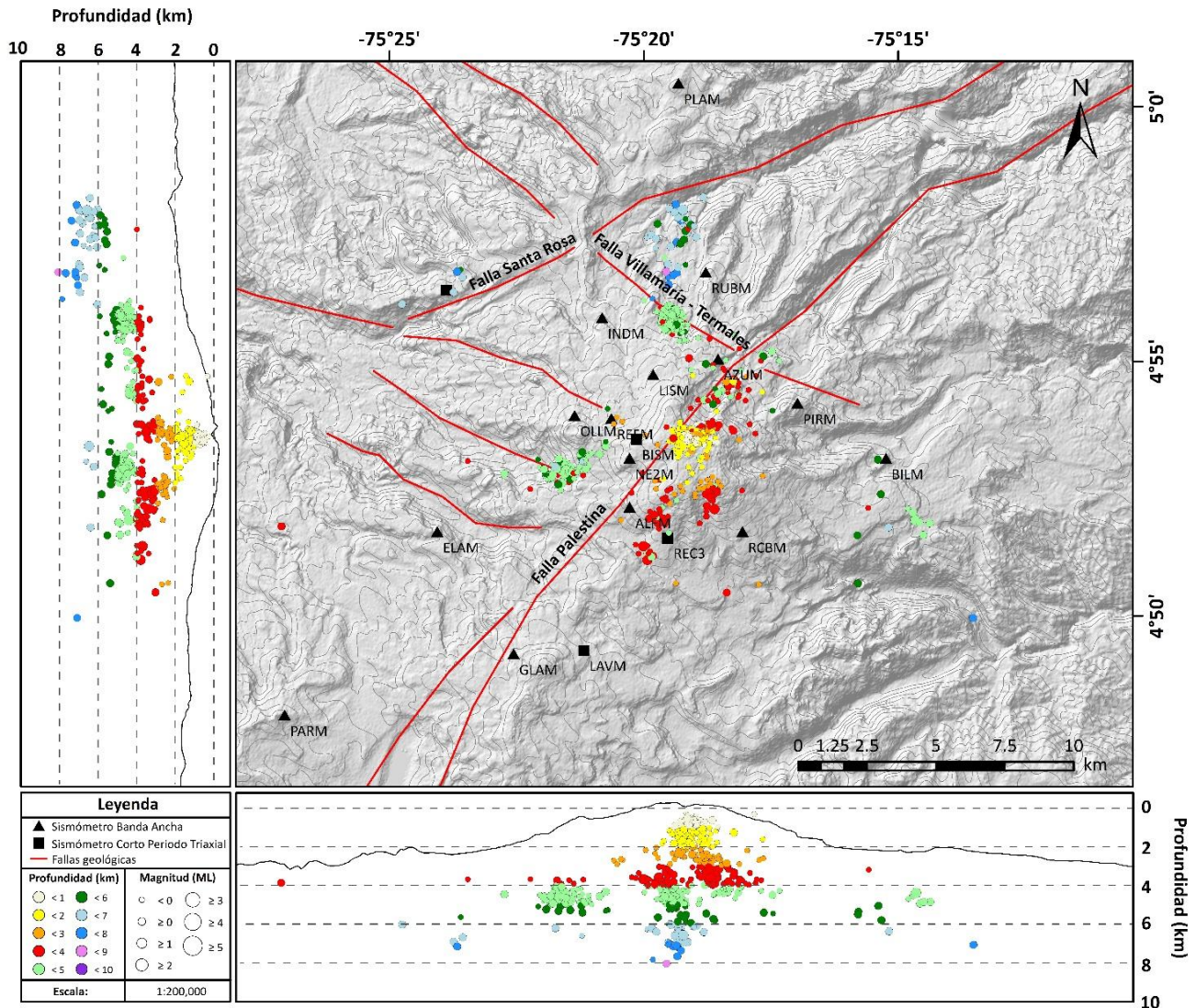


Figura 2. Mapa de localización de sismos asociados a fracturamiento de roca (círculos de colores) registrados en el volcán Nevado del Ruiz, durante mayo de 2026. La fecha y hora se encuentran en formato local (menos 5 horas de la hora UTC). Los cuadros y triángulos de color negro representan las estaciones sismológicas. La escala de colores representa la profundidad de los sismos y el tamaño de los círculos indica la magnitud de los eventos.

- La actividad sísmica relacionada con la dinámica de fluidos en el interior de los conductos volcánicos, específicamente la asociada a señales de corta duración (como sismos de largo periodo y pulsos de tremor), disminuyó en el número de sismos registrados y en la energía



Boletín mensual

sísmica liberada (figura 1). Los niveles de energía de este tipo de señales fueron predominantemente bajos a lo largo del mes. Sin embargo, el 25 de mayo se registró una señal con un nivel de energía moderado, un valor que no se presentaba desde mediados de abril. Por otra parte, también se destaca el registro de dos señales sísmicas de tipo tornillo (un tipo de sismo de largo periodo) que no se observaban desde mayo de 2025. En cuanto a las señales de larga duración, como el temblor volcánico continuo, estas fueron de bajo nivel de energía y se registraron únicamente el 31 de mayo (a diferencia de abril, mes en que no se registraron) durante aproximadamente una hora.

Durante el mes, no se confirmaron emisiones de ceniza ni cambios en la temperatura aparente asociados a estos tipos de señales sísmicas (corta y larga duración).

- La sismicidad relacionada con la actividad del domo de lava¹ ubicado en el fondo del cráter Arenas se mantuvo ausente durante el mes. Este tipo de eventos no se registran desde el 9 de diciembre de 2025.
- La deformación de la superficie volcánica medida a través de inclinómetros electrónicos, estaciones GNSS (Sistema Satelital de Navegación Global) (figura 1) y observaciones DInSAR (Interferometría diferencial de radar de apertura sintética), mostró relativa estabilidad. No se registraron procesos deformativos superficiales en el VNR.
- La emisión de vapor de agua y gases, principalmente dióxido de azufre (SO₂), a través del cráter Arenas a la atmósfera presentó una tendencia variable y representó la variación más relevante del mes, evidenciada en el aumento de las tasas diarias del flujo de SO₂. Durante la primera quincena del mes, estas tasas producto de los procesos de desgasificación se mantuvieron en niveles bajos, en rangos similares a los estimados durante marzo y abril (
- figura 3). Sin embargo, a partir del 17 de mayo, se observó un incremento generalizado. Cabe resaltar que el 31 de mayo se estimó el valor diario de flujo de SO₂ más alto en lo que va del año y el mayor desde octubre de 2020. Asimismo, la tasa mensual estimada para mayo es similar a los valores registrados entre agosto y diciembre de 2025.

¹ **Domo de lava:** es un montículo o protuberancia de lava (roca fundida) viscosa que se emplaza a través del conducto de emisión de un volcán hacia la superficie. La tasa de crecimiento de los domos puede variar entre horas, días, años o cientos de años, y estos pueden alcanzar volúmenes de decenas de metros hasta varios kilómetros cúbicos.



- La columna de vapor de agua y gases volcánicos se mantuvo principalmente entre 200 m y 400 m medidos sobre la cima del volcán (s. c. v). El 9 de mayo alcanzó una altura máxima de 1000 m s. c. v. (
- figura 3). La dirección de dispersión de la columna mostró una tendencia preferencial hacia el flanco noroccidental del volcán y, en menor medida hacia los flancos occidentalsuroccidental, occidentalnoroccidental y nornoroccidental del mismo.

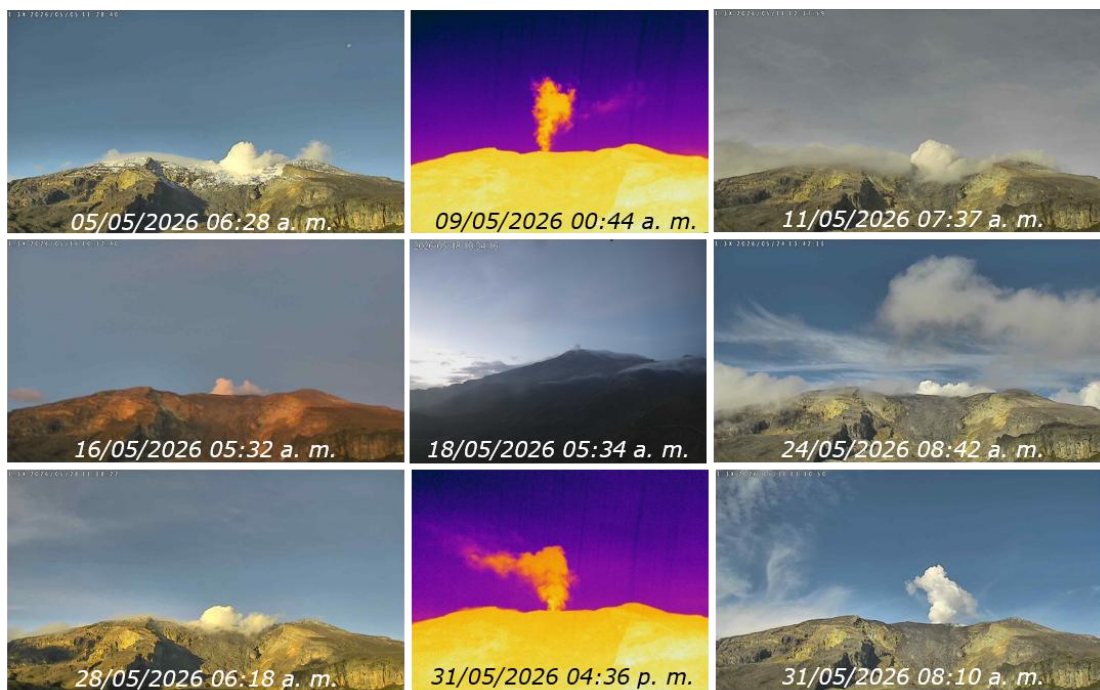


Figura 3. Fotografías de la columna de vapor de agua y gases volcánicos obtenidas mediante la red de cámaras de monitoreo volcánico durante mayo de 2026. La imagen del 9 de mayo corresponde a la columna con la mayor altura vertical (1000 m s.c.v.) observada del mes. La fecha y hora se encuentran en formato de hora local (menos 5 horas de la hora UTC)

Respecto a los demás parámetros monitoreados, estos no mostraron variaciones importantes.

Aunque no está directamente relacionada con la actividad volcánica, es importante mencionar que la actividad sísmica asociada a la dinámica del glaciar que cubre la parte alta del volcán disminuyó notoriamente en el número de sismos registrados.

El volcán Nevado del Ruiz, uno de los volcanes más activos de Colombia, se encuentra en un proceso eruptivo caracterizado por probables erupciones menores (emisiones de ceniza con alturas



Boletín mensual

de columna menores a 3 km), las cuales no afectan de manera considerable a la población. Sin embargo, **es importante no normalizar su comportamiento en el estado de alerta Amarilla**, debido a que los niveles de los parámetros monitoreados se mantienen por encima de los niveles base y, en cualquier momento, podrían variar rápidamente, llevando a pasar a un estado de alerta Naranja (volcán con cambios importantes en los parámetros monitoreados) o incluso a Roja (volcán en erupción).

El estado de alerta por actividad volcánica se mantiene en alerta **Amarilla** : **volcán activo con cambios en el comportamiento del nivel base de los parámetros monitoreados y otras manifestaciones.**



Volcán Cerro Machín

En el volcán Cerro Machín continuó el registro de sismicidad asociada al fracturamiento de roca en el interior del edificio volcánico. Esta actividad sísmica disminuyó levemente en el número de sismos y aumentó en la energía sísmica liberada (figura 4). Los sismos se localizaron principalmente en el domo principal y en el flanco suroccidental del volcán, a distancias menores de 2 km del domo y con profundidades entre 2 km y 4 km, respecto al nivel de referencia, (figura 5). En menor proporción, se registraron sismos en otros flancos de la estructura volcánica hasta una distancia de 10 km del domo. Las profundidades de estos sismos variaron entre 4 km y 8 km. La mayoría de los eventos fueron de nivel de energía predominantemente bajo, con magnitudes menores de 1,0. La máxima magnitud fue de 1,6, correspondiente al sismo registrado el 4 de mayo a las 02:24 a. m., localizado a 10 km al noroccidente del volcán, a una profundidad de 6 km.

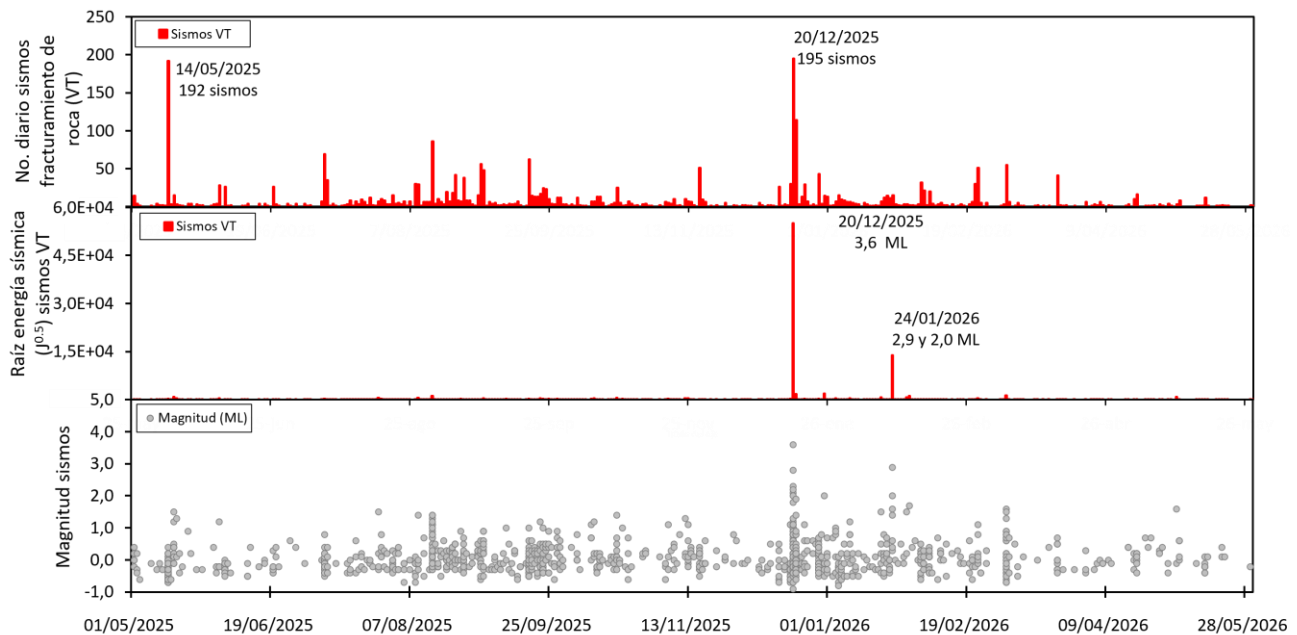


Figura 4. Número de sismos, energía sísmica y magnitud (eventos localizados) de la sismicidad relacionada con sismos VT que se registraron en el volcán Cerro Machín, en el periodo comprendido entre el 1 de mayo de 2025 y el 31 de mayo de 2026. La fecha y hora se encuentran en formato local (menos 5 horas de la hora UTC).

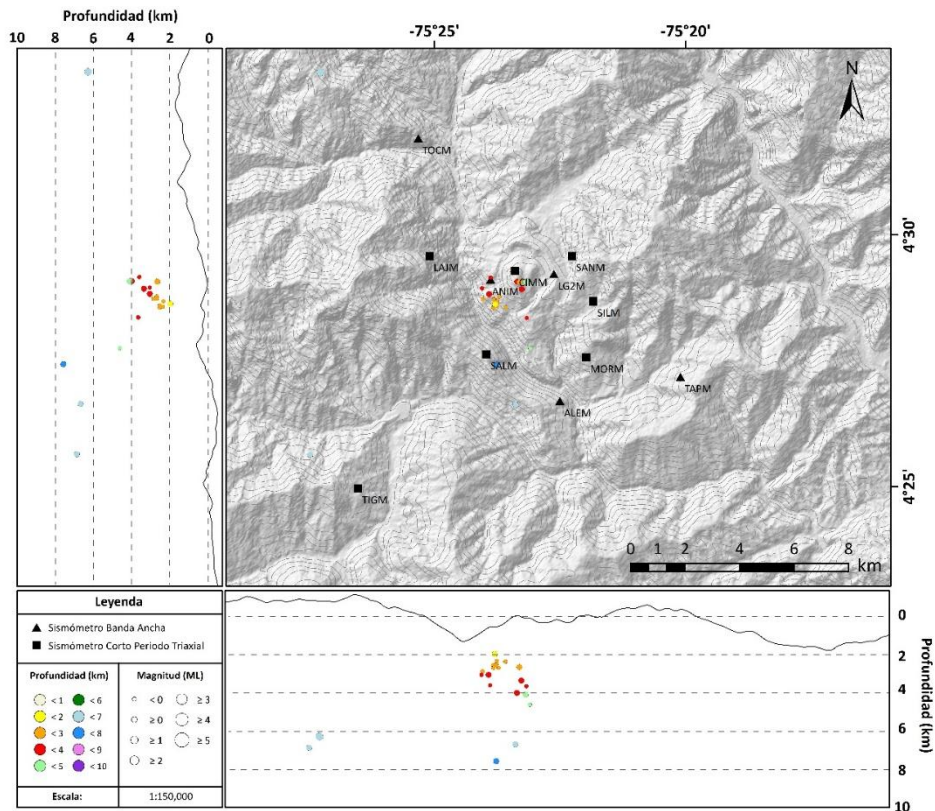


Figura 5. Mapa de localización de sismos asociados a fracturamiento de roca (círculos de colores) registrados en el volcán Cerro Machín, en mayo de 2026. La fecha y hora se encuentran en formato local (menos 5 horas de la hora UTC). Los cuadros y triángulos de color negro representan las estaciones sismológicas. La escala de colores describe la profundidad de los sismos y el tamaño de los círculos, la magnitud local.

La deformación de la superficie volcánica, medida a través de inclinómetros electrónicos y de estaciones GNSS (Sistema Satelital de Navegación Global), mostró estabilidad y no presentó cambios significativos respecto a las tendencias registradas en meses anteriores. Los demás parámetros geofísicos y geoquímicos monitoreados no presentaron variaciones significativas durante el periodo evaluado.

El estado de alerta por actividad volcánica se mantiene en alerta **Amarilla** : **volcán activo con cambios en el comportamiento del nivel base de los parámetros monitoreados y otras manifestaciones.**



Volcán Nevado de Santa Isabel

En el volcán Nevado de Santa Isabel continuó el registro de actividad sísmica asociada al fracturamiento de roca en el interior del edificio volcánico. (

figura 6). Este tipo de sismicidad disminuyó en el número de sismos registrados y mantuvo niveles similares en la energía sísmica liberada. Los sismos fueron de magnitudes menores de 1,0 (nivel de energía bajo) y se localizaron, de manera dispersa, en los flancos orientalsuroriental, oriental, suroriental, sur y occidentalnoroccidental de la estructura volcánica, a distancias menores de 6 km de su parte central. Las profundidades de los eventos variaron entre 3 km y 6 km con respecto al nivel de referencia del volcán (figura 7).

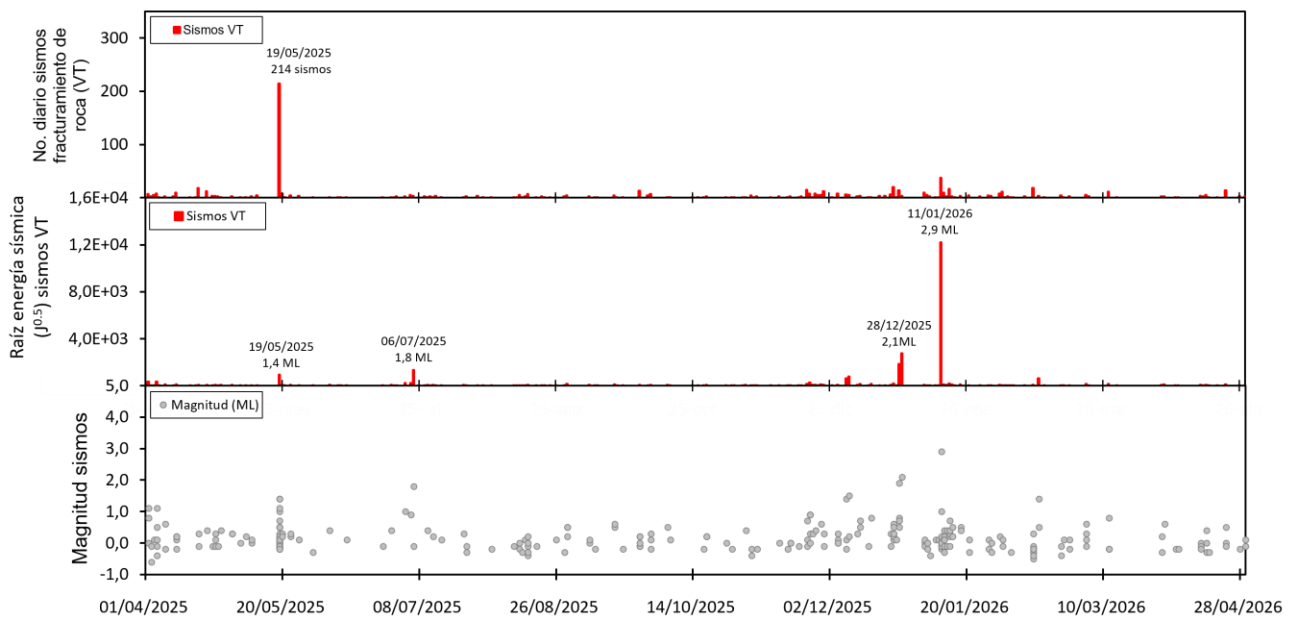


Figura 6. Número de sismos, energía sísmica y magnitud (sismos localizados) de la sismicidad asociada a fracturamiento de roca (VT) que se registró en el volcán Nevado de Santa Isabel. Periodo comprendido entre el 1 de mayo de 2025 y el 31 de mayo de 2026. La fecha y hora se encuentran en formato local (menos 5 horas de la hora UTC).

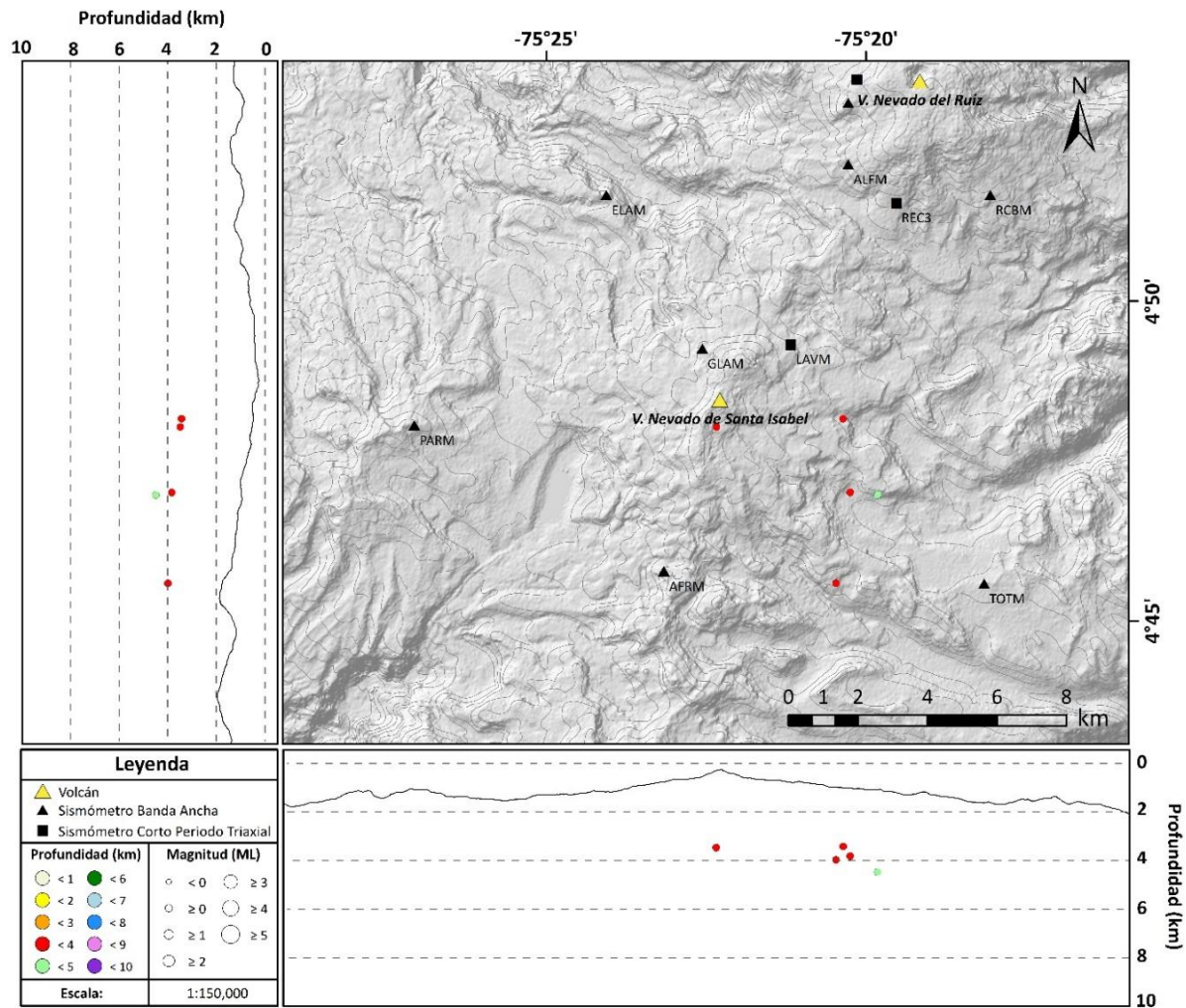



Figura 7. Mapa de localización de sismos asociados a fracturamiento a roca (círculos de colores) registrados en el volcán Nevado de Santa Isabel, mayo de 2026. La fecha y hora se encuentran en formato local (menos 5 horas de la hora UTC). Las figuras de color negro representan las estaciones sismológicas. La escala de colores representa la profundidad de los sismos y el tamaño de los círculos, la magnitud local.

La deformación de la superficie volcánica, medida a través de inclinómetros electrónicos y de estaciones GNSS (Sistema Satelital de Navegación Global) y análisis DInSAR (Interferometría diferencial de radar de apertura sintética), mantuvo una tendencia estable. No se registraron procesos deformativos superficiales en el volcán.



Boletín mensual

La sismicidad asociada a la dinámica del glaciar, la cual no se relaciona directamente con la actividad del volcán, mostró un leve incremento en el número de eventos.

El estado de alerta por actividad volcánica se mantiene en alerta **Amarilla** : **volcán activo con cambios en el comportamiento del nivel base de los parámetros monitoreados y otras manifestaciones.**



Volcán Paramillo del Cisne

En el volcán Paramillo del Cisne continuó el registro de actividad sísmica asociada a procesos de fracturamiento de roca en el interior del edificio volcánico. Esta sismicidad disminuyó en el número de sismos registrados y en la energía sísmica liberada (figura 8). Los sismos fueron de nivel de energía bajo, con magnitudes menores de 1,0, y se localizaron en los flancos orientalsuroriental, suroriental nororiental y orientalnororiental de la estructura volcánica, a distancias menores de 1 km respecto a su parte central. Las profundidades de los eventos variaron entre 1 km y 4 km con relación al nivel de referencia del volcán (figura 9).

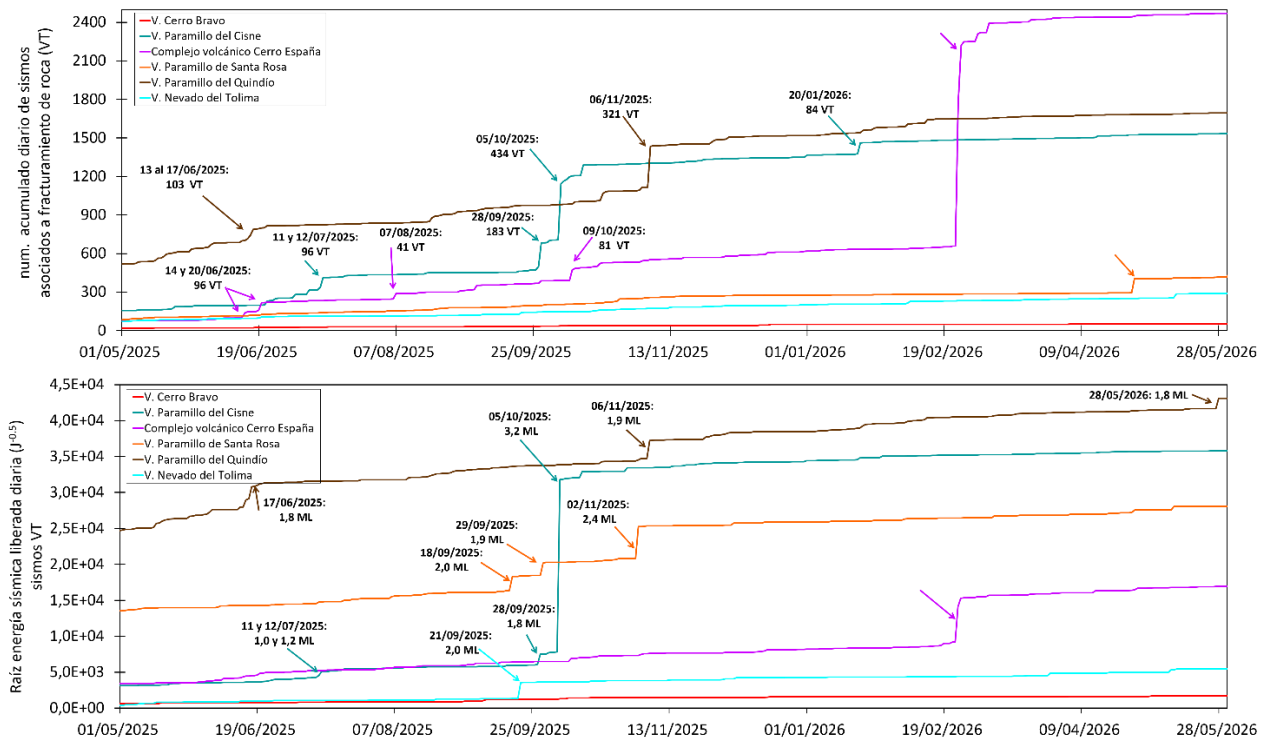


Figura 8. Número de sismos y energía acumulada de la sismicidad asociada a fracturamiento de roca registrada en los volcanes Cerro Bravo, Paramillo del Cisne, Paramillo de Santa Rosa, Paramillo del Quindío, Nevado del Tolima y el Complejo Volcánico Cerro España, entre el 1 de mayo de 2025 y el 31 de mayo de 2026. La fecha y hora se encuentran en formato local (menos 5 horas de la hora UTC).

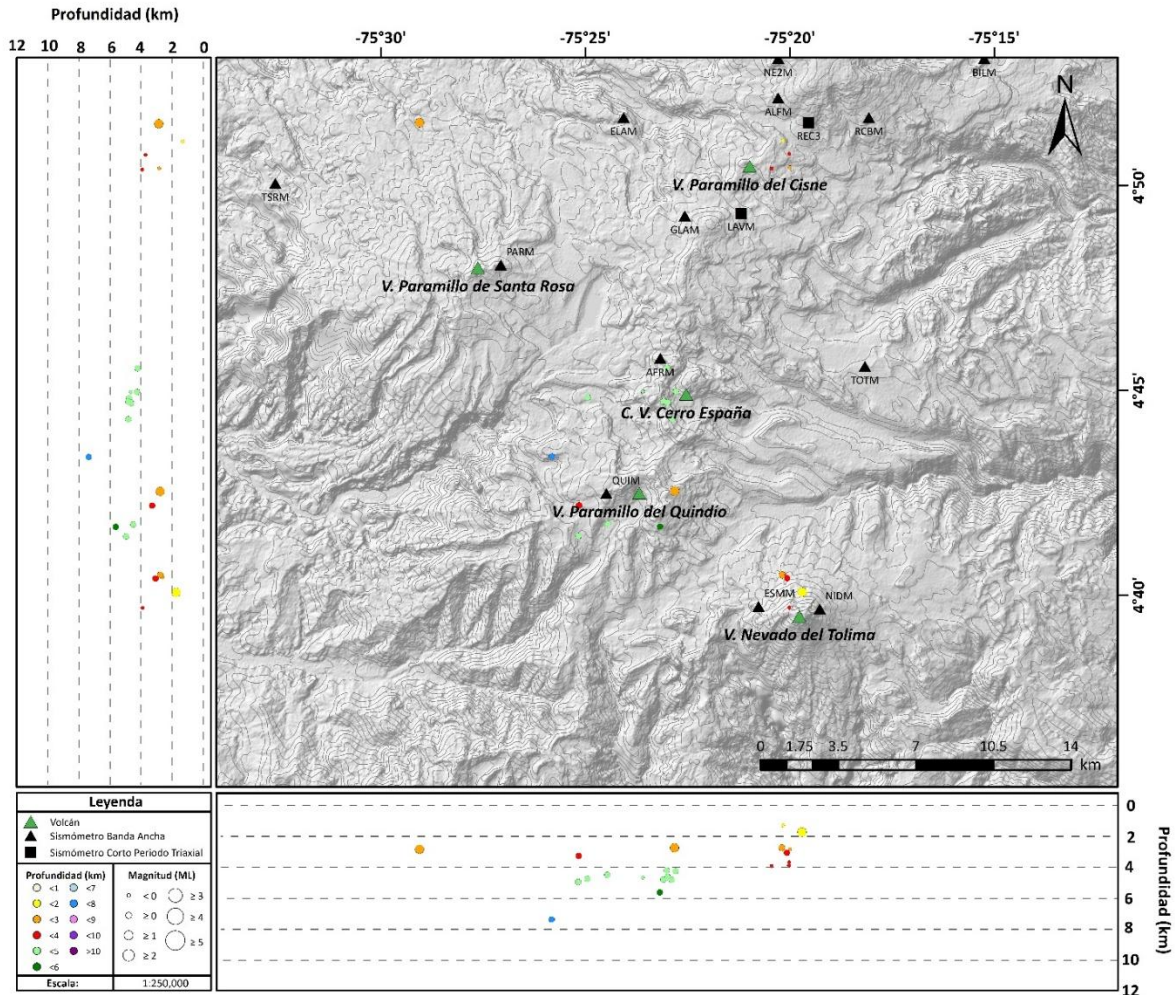


Figura 9. Mapa de localización de eventos VT (círculos de colores) registrados en los volcanes Paramillo del Cisne, Paramillo de Santa Rosa, Paramillo del Quindío, Nevado del Tolima y el Complejo Volcánico Cerro España, mayo de 2026. La fecha y hora se encuentran en formato local (menos 5 horas de la hora UTC). La escala representa la profundidad de los eventos y el tamaño de los círculos, la magnitud local.

Las mediciones geodésicas no mostraron cambios asociados a procesos deformativos volcánicos.

El estado de alerta por actividad volcánica se mantiene en alerta Verde ●: volcán activo en reposo.



Boletín mensual

Complejo Volcánico Cerro España

En el Complejo Volcánico Cerro España continuó el registro de sismicidad asociada a fracturamiento de roca en el interior del edificio volcánico. Esta actividad disminuyó en el número de eventos registrados como en la energía sísmica liberada (figura 8). Los sismos presentaron niveles de energía bajos, con magnitudes menores de 1,0, y se localizaron predominantemente en el flanco suroccidental de la estructura volcánica (figura 9). En menor proporción, se registraron eventos en los flancos occidental, occidental-suroccidental, occidental-noroccidental y sursuroccidental de la misma. Los sismos se localizaron a distancias de hasta 5 km de la parte central del complejo volcánico y a profundidades que variaron entre 4 km y 5 km con relación al nivel de referencia.

Las mediciones geodésicas, en general, mostraron estabilidad y no evidenciaron cambios significativos asociados a procesos deformativos volcánicos.

El estado de alerta por actividad volcánica se mantiene en alerta **Verde** ●: **volcán activo en reposo.**

Volcán Paramillo de Santa Rosa

En el volcán Paramillo de Santa Rosa continuó el registro de actividad sísmica asociada a fracturamiento de roca en el interior de la estructura volcánica. Esta actividad disminuyó notoriamente en el número de sismos registrados, pero aumentó en la energía sísmica liberada (figura 8). Los niveles de energía de la mayoría de los sismos fueron bajos (magnitudes menores de 1,0). La máxima magnitud fue de 1,3, correspondiente al sismo del 12 de mayo, localizado a 7 km al noroccidente de la estructura volcánica (figura 9), a una profundidad de 3 km respecto al nivel de referencia.

Las mediciones geodésicas continuaron mostrando estabilidad y no evidenciaron cambios asociados a procesos deformativos volcánicos.

El estado de alerta por actividad volcánica se mantiene en alerta **Verde** ●: **volcán activo en reposo.**



Boletín mensual

Volcán Paramillo del Quindío

En el volcán Paramillo del Quindío continuó el registro de sismicidad asociada a fracturamiento de roca en el interior del edificio volcánico. Durante mayo, esta actividad mantuvo niveles similares en el número de sismos registrados y aumentó en la energía sísmica liberada aumentó (figura 8). Los eventos se localizaron a distancias de hasta 5 km de su parte central (figura 9), principalmente en el sector occidental-suroccidental de la estructura volcánica y, en menor medida, en los sectores occidental-noroccidental, oriental-suroccidental y sur de la misma. Las profundidades de los sismos variaron entre 2 km y 7 km con relación al nivel de referencia del volcán. La mayor magnitud fue de 1,8, correspondiente al sismo registrado el 28 de mayo a las 11:26 p. m., localizado a 1 km al oriente-suroccidente de la parte central del volcán, a 3 km de profundidad.

Las mediciones geodésicas continuaron mostrando estabilidad y no evidenciaron cambios asociados a procesos deformativos volcánicos.

El estado de alerta por actividad volcánica se mantiene en alerta Verde ●: volcán activo en reposo.

Volcán Nevado del Tolima

En el volcán Nevado del Tolima continuó el registro de sismicidad asociada a fracturamiento de roca en el interior de la estructura volcánica. Esta actividad sísmica aumentó en el número de eventos registrados y en la energía sísmica liberada (figura 8). Los sismos se localizaron al nornoroccidente, noroccidente y nornoriente del volcán, a distancias menores de 2 km de su parte central y con profundidades entre 1 km y 4 km respecto al nivel de referencia del volcán, (figura 9). La mayor magnitud fue de 1,2, correspondiente al sismo registrado el 11 de mayo a las 02:05 p. m., localizado a 1 km al nornoriente de su parte central y a una profundidad de 2 km.

Las mediciones geodésicas continuaron mostrando estabilidad y no evidenciaron cambios asociados a procesos deformativos volcánicos.

Por otra parte, se registró una disminución en la actividad sísmica no relacionada directamente con la actividad del volcán, como son las señales asociadas a la dinámica del glaciar que cubre la parte alta y las relacionadas con actividad superficial (pequeñas avalanchas o desprendimientos de roca).

El estado de alerta por actividad volcánica se mantiene en alerta Verde ●: volcán activo en reposo.



Boletín mensual

Volcán Cerro Bravo

En el volcán Cerro Bravo continuó el registro de sismicidad asociada a procesos de fracturamiento de roca en el interior del edificio volcánico. Esta actividad se mantuvo en niveles bajos, similares al mes anterior, registrándose un único evento de nivel de energía bajo con magnitud menor de 1,0. Este sismo se localizó en el flanco sursuroriente de la estructura volcánica (**figura 9**), a una distancia de 9 km respecto al centro del volcán y a una profundidad de 3 km con relación al nivel de referencia.

Las mediciones geodésicas continuaron mostrando estabilidad y no evidenciaron cambios asociados a procesos deformativos volcánicos.

El estado de alerta por actividad volcánica se mantiene en alerta **Verde** ●: **volcán activo en reposo.**

Volcán San Diego

El volcán San Diego no registró actividad sísmica importante ni se recibieron reportes de cambios o fenómenos superficiales que puedan estar relacionados con su actividad volcánica.

El estado de alerta por actividad volcánica se mantiene en alerta **Verde** ●: **volcán activo en reposo.**

Volcán Romeral

El volcán Romeral no registró actividad sísmica importante ni se recibieron reportes de cambios o fenómenos superficiales que puedan estar relacionados con su actividad volcánica.

El estado de alerta por actividad volcánica se mantiene en alerta **Verde** ●: **volcán activo en reposo.**

Con base en lo anteriormente expuesto, desde el SGC recomendamos seguir atentamente la evolución de las estructuras volcánicas del Segmento Norte del país, a través de los boletines semanales y demás información publicada por nuestros canales oficiales, así como atender las instrucciones de las autoridades locales, departamentales y de la Unidad Nacional para la Gestión del Riesgo de Desastres (UNGRD).



Boletín mensual

El Servicio Geológico Colombiano realiza el monitoreo permanente de la actividad volcánica en el país y continuará informando de manera oportuna los cambios observados en cada una de las estructuras volcánicas. Si quiere conocer más información, [visite este enlace](#).

Para más detalles sobre el esquema de clasificación de los estados de alerta, puede hacer [clic aquí](#).